

国鉄 構造物設計事務所 正員 有藤 啓一  
石橋 忠良

### 1. まえがき

最近、騒音振動防止の観点より、基礎柱に大口径場所打ち柱が多く用いられている。この場合、フーチングの基礎柱としては少数本となる。フーチングの部材厚は、斜引張鉄筋の計算をしない場合の許容せん断応力度を決定されるのが一般的であり、せん断の設計法はフーチングの設計に非常に重要である。この少数本の大口径柱を用いたフーチングのせん断に対する合理的な設計法を見い出すため、せん断スパン高さ比・鉄筋比・有効高さ、およびせん断補強鉄筋量等を変化させた供試体により、主として、その抵抗面積に着目し実験的研究を行った。<sup>(1)(2)</sup>

本報告は、これらに引続いて行った橋脚柱の形状を柱タイプとした場合の7体の実験結果について述べるものである。

### 2. 実験概要

供試体の諸元を図-1、表-1に示す。使用したコンクリートの配合及び養生条件を表-2に示す。載荷実験時のコンクリートの圧縮強度は表-1に示す。

載荷方法は、各柱への載荷力に違いが生じないよう互いに運動させた油圧ジャッキ4台により、供試体の柱より載荷した。

### 3. 実験結果および考察

#### 3-1. フーチングの破壊性状

##### a. 最大荷重

実験で得られたフーチングの破壊時の柱の本当りの最大荷重(せん断耐力)  $P_{max}$  を表-1に示す。なお、比較を容易にするため載荷時のコンクリートの圧縮強度を  $f_c$  とすると、最大荷重は  $(f_c)^{1/2}$  に比例するとして、 $f_c$  が  $210 \text{ kg/cm}^2$  に換算した値を  $P_u$  として示してある。

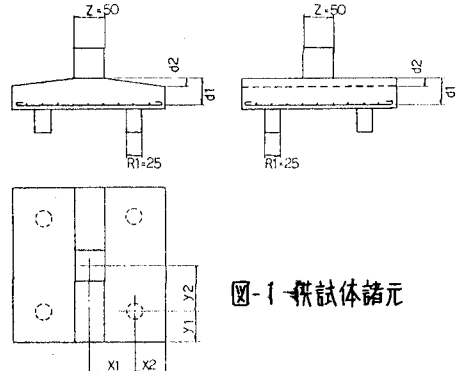


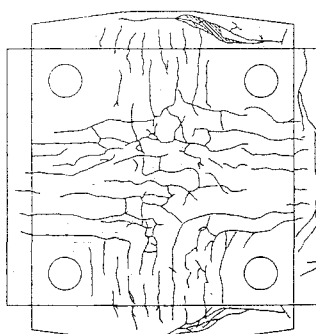
図-1 供試体諸元

表-2 コンクリートの配合及び養生条件

NO	粗骨材の最大寸法 mm	スランプ cm	空気量 %	$\rho_A$ %	W/C	ヒメント率	養生方法
I ~ L	10	12	4	38	48	無	乾燥
P1 ~ P3	15	12	4	39	60	無	—

表-1 供試体諸元

図-2 ひびわれ展開図(L)



NO	X1	X2	Y1	Y2	d1	d2	Px	$f_c$	$P_{max}$	$P_u$	$V_{cal}$	$\frac{P_u}{V_{cal}}$
I	75	25	25	75	50	10	0.456	200	71	72.2	57.8	1.25
J	"	"	"	"	35	"	0.977	198	46	46.9	41.7	1.13
K	"	"	"	"	29	"	1.464	202	36	36.5	37.0	0.987
L	"	"	"	"	25	"	2.028	204	30	30.3	34.8	0.871
P1	42.5	"	42.5	50	0	0.507	330	132	114	115	0.991	
P2	60	"	60	50	-	-	261	96	89.3	78.6	1.14	
P3	60	40	40	60	50	-	271	108	99.2	78.6	1.26	

### b. ひびわれ性状

7-チング破壊時のひびわれ展開図を図-2に示す。くいを中心とした同心円状にひびわれが発生し、進展しているが、中心部でひびわれが交差しており、橋脚く体を壁式とした7-チング（以下壁式7-チングという）のひびわれ性状とは、若干異なる傾向が認められた。

### c. せん断破壊面

図-3の実線は、供試体の破壊面上の位置がその点での有効高さの $1/2$ と一致した点を結んだものである。橋脚く体の断面を面積の等しい円形に換算し、この換算円とくい外縁への垂線の長さが等しい位置に破壊面の中心があると仮定すると、中心位置は、

$$\sqrt{(x_1-x)^2 + y^2} - \sqrt{(y_2-y)^2 + x^2} - R_1 + R_2 = 0 \quad \dots \dots \dots (1)$$

ここで、 $R_1$ :くい半径  $R_2$ :橋脚く体断面と面積の等しい換算円の半径

$x_1, y_2$ :図-4に示すくい及び橋脚く体の中心の座標値

(1)式により示され、これによて得られる仮想破壊線を図-3に点線で示す。これより、くい中心と橋脚く体中心を結ぶ線と仮想破壊線との交点をM点とすると、M点近傍では比較的良く一致していることがわかる。

### 3-2 7-チングのせん断耐力の算定

壁式7-チングの実験により得られたせん断耐力式

$$V_{cal1} = 0.94 (0.75 + 1.4 d/a) f_c^{1/3} \left\{ \sqrt{P_x} + \left( \frac{d}{100} \right)^{-1/4} - 1 \right\} b_w d \quad \text{ただし } a/d \geq 2.5 \quad \dots \dots \dots (2)$$

$$V_{cal2} = 3.58 (a/d)^{-1.166} f_c^{1/3} \left\{ \sqrt{P_x} + \left( \frac{d}{100} \right)^{-1/4} - 1 \right\} b_w d \quad \text{ただし } a/d < 2.5 \quad \dots \dots \dots (3)$$

ここで、 $a$ :せん断スパン  $d$ :有効高さ  $P_x$ :主鉄筋比(%)  $b_w$ :有効幅

を用い、検討断面を3-1-cの仮想破壊線で示される断面とし、N点近傍の微小区間 $\Delta l$ のせん断耐力を求める場合、式中のパラメータのとり方を、N点のせん断スパン $a$ はHN<sub>G</sub>をとり、有効高さ $d$ はN点の有効高さとし、有効幅 $b_w$ は微小区間 $\Delta l$ とした。そして、M点を中心としそれぞれ仮想破壊線上の距離がEMに等しい（又は、 $0 \leq x \leq x_1 + x_2$ かつ $-y_1 \leq y \leq y_2$ ）範囲を有効として、これらを積分して求めた値を計算耐力 $V_{cal}$ とし、実験耐力との比 $P_u/V_{cal}$ も合わせて表-1に示した。これによれば、 $P_u/V_{cal}$ の平均値 $\bar{\alpha} = 1.09$  標準偏差 $\sigma_{\alpha} = 0.135$  变動係数 $V = 12.4\%$ であった。

### 4. あとがき

本報告は、式(2)(3)を用いてせん断耐力を評価し、式(1)で与えられる仮想破壊面と有効幅( $EM \times 2$ )を仮定して検討を加えたものであり、本手法によれば比較的良好な精度が得られたが、さらに有効幅等について検討を加えてゆきたいと考えている。本実験の計画にあたり、御指導いただいた東京大学岡村教授ならびに実験および解析に御協力いただいたハナダエンジニアリングK.K. 佐々木・瀬戸田氏に誌面をかりてお礼申しあげます。

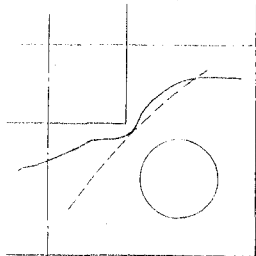


図-3 せん断破壊面(P1)

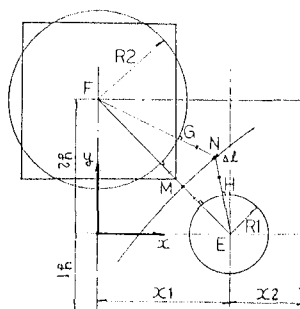


図-4  
フーリングの仮想破壊線  
モデル

参考文献 1) 斎藤啓一, 松岡和夫, 松田好史: 第36回年次学術講演概要集 (V-141)

2) 石橋忠良, 松田好史, 斎藤啓一: 第37回 (V-34)

3)コンクリート構造の限界状態設計法試案: コンクリートライアリ- N048; 土木学会